

بهبود بازده سلول خورشیدی سیلیکونی ناهمگون با استفاده از لایه ذاتی GaP

نفیسه معماریان^{*}، میر کاظم عمرانی، مهران مین باشی

گروه فیزیک، دانشکده فیزیک، دانشگاه سمنان، سمنان، ایران

دریافت: ۱۳۹۵/۰۳/۱۵ ویرایش نهائی: ۱۳۹۶/۰۱/۲۲ پذیرش: ۱۳۹۶/۰۲/۰۴

چکیده

در این مقاله عملکرد سلول‌های خورشیدی سیلیکونی ناهمگون به صورت نظری بررسی شده است. ساختار مورد بررسی به صورت TCO/a-SiC (P)/GaP (i)/a-Si (n)/a-Si (n+)/metal می‌باشد. در این کار به جای ساختار مرسوم که از یک لایه سیلیکون آمورف ذاتی استفاده شده است. مدل‌های مختلفی از این ساختار سلول خورشیدی شبیه‌سازی شد. تأثیر پارامترهای مختلف در ساختار سلول خورشیدی نظیر تابع کار الکترودهای بالایی و پایینی، چگالی حامل لایه‌های امیتر و لایه سیلیکون آمورف نوع n، گاف انرژی لایه امیتر، ضخامت لایه بافر Gap، منحنی چگالی جریان- ولتاژ و بازده کوانتومی بررسی شد. بهینه مقدار کمیت‌های برای بالاترین بازده سلول خورشیدی براساس نتایج مطالعات حاضر معرفی شده است. همچنین ساختار نوار انرژی در حالت‌های مختلف رسم و مقایسه گردید. نتایج نشان می‌دهد که استفاده از یک لایه ذاتی گالیوم فسفات با گاف انرژی $V = 2.26\text{ eV}$ و ضخامت ۱ میکرومتر منجر به بیشترین بازدهی در حدود ۱۳٪ با $V = 21.13\text{ V}$ ، $J_{sc} = 16.58\text{ mA.cm}^{-2}$ ، $V_{oc} = 1.52\text{ V}$ و $FF = 84\%$ می‌شود.

کلیدوازگان: سلول خورشیدی سیلیکونی، بهینه سازی گاف انرژی، لایه ذاتی، بازده کوانتومی

مقدمه

آمورف a-SiGe:H به مواد نیم‌رسانای بسیار مهمی برای استفاده در سلول‌های خورشیدی تبدیل شده‌اند [۱]. استفاده از ساختارها و اتصالات ناهمگون برای سیلیکون بلوری و آمورف باعث کارآمدتر شدن این نوع سلول‌های سیلیکونی شده است [۲].

روش‌های متنوعی به منظور افزایش بازدهی در این نسل از سلول‌های خورشیدی به کار برده می‌شود. از بین این روش‌ها می‌توان به اکسیداسیون حرارتی^۱ اشاره کرد که در آن با وارد کردن هیدروژن یا اکسیژن در سطح

سلول‌های خورشیدی یکی از انواع انرژی‌های پاک و تجدیدپذیر می‌باشند که در حال حاضر در سراسر دنیا مورد استفاده قرار می‌گیرند. سلول‌های خورشیدی سیلیکونی به دلیل بازدهی بالا، پایداری مطلوب و خواص مکانیکی مناسب، همچنان بیشترین میزان مقاضی را در بازار دارند. استفاده از فناوری لایه نازک برای ساخت سلول‌های خورشیدی موجب افزایش بازده و همچنین کاهش هزینه‌های تولید در مقایسه با انواع دیگر سلول‌های خورشیدی شده است. سیلیکون آمورف هیدروژن (a-Si:H) و آلیاژهای آن نظیر کربید سیلیکون آمورف a-SiC:H و سیلیکون ژرمانیوم

* نویسنده مسئول: n.memarian@semnan.ac.ir

^۱ thermal oxidation

باز نشر این مقاله با ذکر منبع آزاد است.

جدید، به صورت نظری مطالعه و شبیه‌سازی کرده و پارامترهای بهینه جهت ساخت لایه‌های مختلف آن را به دست آورده‌ایم.

برای شبیه‌سازی ساختار و عملکرد سلول خورشیدی نرم‌افزارهای مختلفی از قبیل PC-1D, AMPS-1D, SCAPS, ASA, ADEPT-F, ASPIN, دارد [۸]. بعضی از آنها تنها مختص شبیه‌سازی عملکرد سلول‌های خورشیدی سیلیکونی بوده و بعضی به صورت کلی همه ساختارهای مختلف را شبیه‌سازی می‌کنند. در این بین AMPS^۴ دارای یک محیط گرافیکی مناسب است که توانایی شبیه‌سازی انواع قطعات اپتوالکترونیکی را دارد [۹].

مدل و روش محاسباتی

AMPS-1D یک کد شبیه‌سازی کامپیوتری برای طراحی و تحلیل ساختارهای دو پایانه است که می‌تواند ساختارهایی نظیر اتصالات p-n^۵, p-i-n^۶ [۱۰] و اتصالات ناهمگون p-i-p^۷ و n-i-n^۸ [۱۱] را شبیه‌سازی کند. این ساختارها ممکن است بسیاری، آمورف، لایه‌های تک بلوری و یا ترکیبی از آنها باشند [۱۲]. این نرم‌افزار اجازه می‌دهد تا با استفاده از پارامترهای چگالی و توزیع انرژی، سطح مقطع به داماندازی الکترون و حفره بتوان اثر نقص ساختار بلوری را برای یک یا چند لایه وارد نمود. برای چگالی حالات موضعی درون گاف انرژی سیلیکون آمورف دو حالت شبیه‌گیرنده و شبدهنده در نظر گرفته می‌شود. این حالت‌ها با مدل نمایی در دنباله نواری و حالت‌های میان گافی گاؤسینی نمایش داده می‌شود. سه معادله اصلی عبارتند از: معادله پوآسون، معادله پیوستگی برای الکترون‌ها و معادله پیوستگی برای حفره‌ها. این معادلات اساسی باید با در نظر گرفتن شرایط مرزی

ساختار سیلیکون آمورف، پیوندهای ناقص سطحی^۱ غیر فعال^۲ می‌شوند [۳]. یک روش متداول دیگر استفاده از یک لایه سیلیکون ذاتی^۳ بین لایه p و لایه n در ساختار سلول (ساختار p-i-n) می‌باشد که باعث کاهش چگالی نقص‌های سطحی و بازترکیب حامل‌ها در فصل مشترک دو لایه می‌شود. این دسته با نام سلول‌های خورشیدی ناهمگون با لایه ذاتی^۴ (HIT) شناخته می‌شوند [۴]. ایده استفاده از لایه ذاتی در سلول‌های سیلیکونی باعث افزایش بازده در آنها شده است [۱ و ۳].

از سوی دیگر، محققان با مطالعات تئوری به این نکته دست یافته‌اند که استفاده از کربید سیلیکون به جای سیلیکون آمورف به سلول‌هایی با بازدهی بالاتر در مقایسه با سیلیکون آمورف منجر می‌شود [۲,۵,۶]. والدر و همکارانش نیز با مقایسه نتایج تجربی سلول‌های خورشیدی تهیه شده از دو نوع ماده همین یافته را تأیید کرده‌اند [۷]. با این حال استفاده از یک ماده دیگر به عنوان لایه ذاتی تا به حال در جایی گزارش نشده است.

در این مقاله از یک لایه گالیوم فسفات GaP به عنوان لایه ذاتی استفاده شده است. علت انتخاب گالیوم فسفات گاف نسبتاً بزرگ این ماده (در حدود ۱/۷۵ eV^۹) در مقایسه با سیلیکون آمورف (۲/۲۶ eV^{۱۰}) می‌باشد. همچنین به لحاظ موقعیت لبه نوار رسانش این ماده در تطابق با سیلیکون آمورف می‌باشد [۵].

با توجه به هزینه بالای مورد نیاز و سایر شرایط کارهای تجربی، شبیه‌سازی یک ساختار و به دست آوردن محدوده پارامترهای بهینه برای ساختار مورد نظر، می‌تواند باعث صرفه جویی در انرژی و زمان برای پژوهشگران باشد. از این رو در مقاله حاضر ساختار سلول خورشیدی سیلیکونی ناهمگون با یک ترکیب

⁴ Heterojunction with intrinsic thin layer

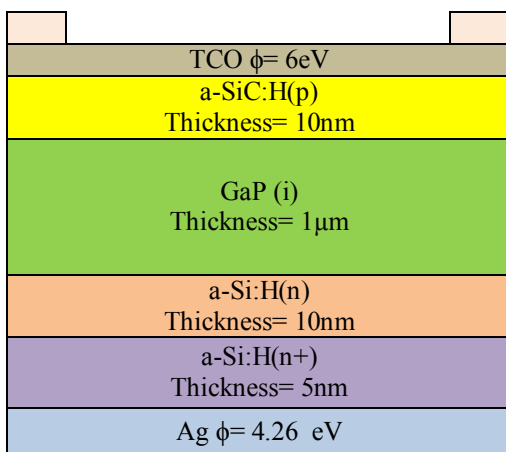
⁵ Analysis of Microelectronic
and Photonic Structures

¹ surface dangling bonds

² passivated

³ Intrinsic

آبکاری شده است. ضریب بازتاب برای الکترود بالا 10^{-7} cm/s و سرعت بازترکیب الکترون و حفره 10^{-17} cm/s در نظر گرفته شده است. سایر پارامترهای مربوط به هر لایه در جدول ۱ آورده شده است. برای اندازه‌گیری بازده سلول‌های خورشیدی طیف استاندارد AM ۱,۵ با توان فرودی $P_{IN} = 1000 \text{ W/m}^2$ به کار برده شده و دما 25°C در نظر گرفته شده است [۱۴].



شكل ۱. نمای جانبی طرح‌وار سلول خورشیدی تک اتصاله با لایه ذاتی GaP.

برای تمام نقاط حل شود که برای حل آنها در این نرم‌افزار از روش نیوتون-رافسون استفاده می‌شود.

شکل ۱ نمای جانبی طرح‌وار از ساختار سلول خورشیدی تک اتصاله شبیه‌سازی شده در این کار را نشان می‌دهد. در این ساختار از یک لایه اکسید رسانای شفاف^۱ (TCO) بهمنظور دستیابی به مقاومت سری a-Si:H(p) پایین در الکترود بالایی سلول، همچنین از a-Si:H(n) به عنوان لایه امیتر و از a-Si:H(n⁺) به عنوان لایه میدان الکترود پایینی^۲ (BSF) در نظر گرفته شده است. حضور لایه با چگالی حامل بالا احتمال بازترکیب سطحی حامل‌ها در الکترود پایینی را کاهش داده و در نتیجه باعث استخراج بیشتر فوتولکترون‌های تولید شده در سلول می‌شود. این لایه باید از نظر ساختاری با لایه‌های بالاتر خود تطابق داشته و ساختار نوار انژری آن باید به گونه‌ای باشد که امکان انتقال حامل‌ها به الکترود را فراهم کند [۱۳]. الکترود پایینی به‌طور کامل توسط یک فلز

جدول ۱. پارامترهای مربوط به لایه‌های سلول خورشیدی شبیه‌سازی شده.

پارامتر	a-SiC:H (p)	GaP (i)	a-Si:H (n)	a-Si:H (n ⁺)
ضخامت (nm)	۱۰	-۱۴۰۰	۱۰	۵
الکترون خواهی (eV)	۳.۷	۳.۸	۳.۸	۳.۸
کاف انژری (eV)	۲.۱-۲.۶	۲.۲۶	۱.۷۵	۱.۷۲
چگالی حالات در لبه نوار هدایت (cm ⁻³)	2.5×10^{20}	1.9×10^{19}	2.5×10^{20}	2.5×10^{20}
چگالی حالات در لبه نوار ظرفیت (cm ⁻³)	2.5×10^{20}	1.2×10^{19}	2.5×10^{20}	2.5×10^{20}
تحرک الکترون (cm ² V ⁻¹ s ⁻¹)	۱۰	۱۱۰	۲۰	۲۰
تحرک حفره (cm ² V ⁻¹ s ⁻¹)	۱	۷۵	۲	۲
چگالی ناخالصی پذیرنده (cm ⁻³)	$3 \times 10^{13}-3 \times 10^{19}$	۰	۰	۰
چگالی ناخالصی دهنده (cm ⁻³)	۰	۰	$8 \times 10^{13}-8 \times 10^{17}$	8×10^{11}
چگالی حالت نقص‌ها در دنباله نواری (cm ⁻³ eV ⁻¹)	1×10^{21}	2×10^{21}	1×10^{21}	1×10^{21}
انژری مشخصه دهنده، پذیرنده (eV)	۰.۱, ۰.۰۵	۰.۰۶, ۰.۰۳	۰.۰۶, ۰.۰۳	۰.۰۶, ۰.۰۳
سطح مقطع به دام اندازی (cm ²)	$1 \times 10^{-15}, 1 \times 10^{-17}$			
چگالی حالت نقص‌ها گوین (cm ⁻³)	1×10^{16}	1×10^{15}	1×10^{16}	1×10^{14}
قله انژری گوین برای دهنده‌ها، پذیرنده‌ها (eV)	۱.۲۷, ۰.۱۷	۱.۲۶, ۰.۱۶	۱.۲, ۰.۱۴	۱.۲, ۰.۱۴

^۱ Back surface Field

^۲ Transparent Conductive Oxide

بررسی تابع کار الکترود پایین

در شکل ۳ اثر تغییر تابع کار الکترود پایینی بر پارامترهای کارکردی سلول خورشیدی ناهمگون، برای پنج ماده مختلف که در جدول ۲ آمده‌اند، بررسی شده است. با توجه به نتایج شبیه‌سازی در شکل ۳ در می‌یابیم که در ابتدا با افزایش تابع کار الکترود پایینی سلول، بازده افزایش یافته و پس از آن کاهش می‌یابد. با وجود اینکه تابع کار Ag بیشتر از Al و ZnO:B است، ولی باید تأثیر ضریب بازتاب نیز باید در نظر گرفته شود. چون ضریب بازتاب Ag بیشتر است به‌همین دلیل Ag بیشترین بازده را دارد. همچنین بازده Al به‌خاطر ضریب بازتابش بالاتر آن بیشتر از بازده ZnO:B است. دلیل این امر را می‌توان از رابطه ۱ استنتاج کرد.

$$\eta = \frac{J_{sc}(\lambda)}{q\phi_0(1-R)} \times 100\% \quad 1$$

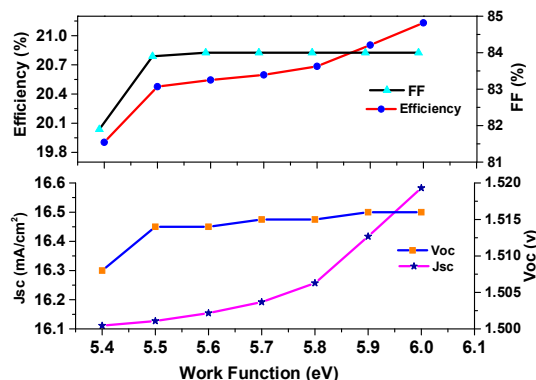
که در آن $J_{sc}(\lambda)$ چگالی جریان در طول موج معین λ و ϕ_0 چگالی شار فوتونی و R ضریب بازتاب است [۱]. از رابطه ۱ مشاهده می‌شود که به‌ازای افزایش R ، بازده (η) افزایش می‌یابد.

نکته قابل توجه دیگر ثابت ماندن ولتاژ مدار باز سلول است. تغییر تابع کار سلول خورشیدی تأثیری بر روی ولتاژ مدار باز سلول ندارد و اثر خود را بر روی جریان اتصال کوتاه سلول نشان می‌دهد که بیانگر این امر است که تغییر تابع کار الکترود پایینی بیشتر بر روی جمع آوری فوتوالکترون‌های تولید شده و نحوه ترابرد و میزان بازترکیب آنها در فصل مشترک n+-Si/ metal تأثیر دارد.

بحث و بررسی

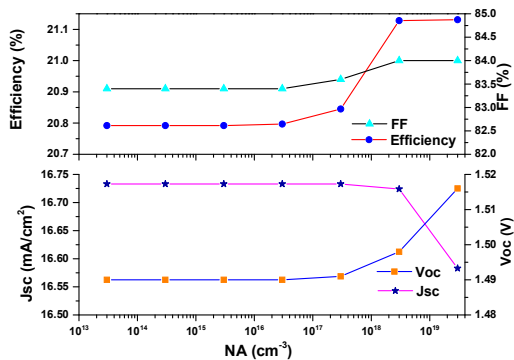
بررسی تابع کار الکترود بالایی

به کار بردن یک لایه شفاف و رسانا (TCO) مناسب برای دستیابی به بیشینه راهیابی نور خورشید به درون سلول و در عین حال اتصالی با کمترین میزان مقاومت سری یکی از پارامترهای مهم در طراحی سلول خورشیدی می‌باشد. تابع کار TCO‌ها از ۴ تا ۶ الکترون ولت تغییر می‌کند [۱۵]. نتایج مربوط به شبیه‌سازی پارامترهای کارکردی سلول خورشیدی با تغییر تابع کار الکترود بالایی سلول در شکل ۲ نشان داده شده است. همان‌طور که مشاهده می‌شود با افزایش تابع کار الکترود بالایی سلول، بازده افزایش می‌یابد. از تابع کار eV ۵,۵ به بعد ولتاژ مدار باز (Voc) ثابت شده و به مقدار ثابت V ۰,۸۷۷ می‌رسد و ضریب پرشدنگی (FF) نیز به مقدار ۰,۸۴۲ می‌رسد. با این حال چگالی جریان (Jsc) افزایش می‌یابد که این امر سبب افزایش بازدهی سلول خورشیدی می‌شود. به‌طور کلی علت این افزایش در بازدهی به‌دلیل افزایش تابع کار لایه TCO و در نتیجه سهولت انتقال فوتوالکترون‌های تولید شده و استخراج هر چه بیشتر آنها در مرز فصل مشترک TCO/P-SiC نسبت داده می‌شود.

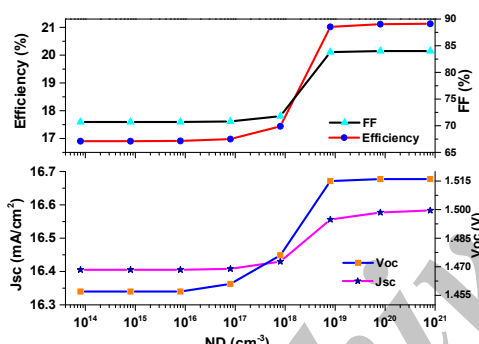


شکل ۲. بررسی اثر تابع کار الکترود بالایی سلول خورشیدی ناهمگون.

بارها دانست که سبب کاهش جریان نوری خارج شده از سلول می‌شود.



شکل ۴. بررسی اثر چگالی حامل‌های لایهٔ امیتر در سلول خورشیدی.

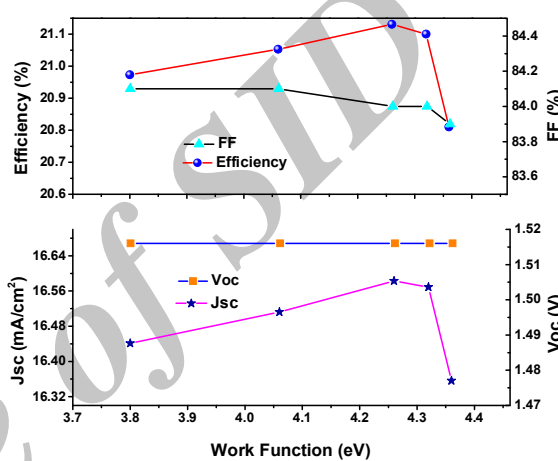


شکل ۵. بررسی اثر چگالی حامل‌های لایهٔ بیس در سلول خورشیدی.

با توجه به شکل ۵ افزایش چگالی الکترون‌های آزاد در لایهٔ سیلیکون آمورف باعث افزایش جریان و ولتاژ مدار باز سلول می‌شود. این افزایش برای تغییر چگالی الکترونی از 10^{18} به 10^{19} (cm⁻³) مشهود می‌باشد. این محدوده از چگالی حامل‌ها، محدوده‌ای است که یک نیمرسانا به حالت تبهگن در می‌آید و پس از آن افزایش بیشتر چگالی حامل‌ها به دلیل افزایش پراکندگی آنها تأثیر مشهودی بر روی عملکرد سلول خورشیدی نخواهد داشت.

جدول ۲. تابع کار و ضریب بازتاب مواد استفاده شده در الکترود پایینی.

ماده	تابع کار(eV)	ضریب بازتاب
ZnO:B	۲.۸ [۱۷]	۰.۸۶ [۱۷]
Al	۴.۰۶ [۱۸]	۰.۹۳ [۱۹]
Ag	۴.۲۶ [۱۸]	۰.۹۶ [۱۹]
Mo	۴.۳ [۱۸]	۰.۸ [۱۹]
W	۴.۳۶ [۱۸]	۰.۹ [۱۹]



شکل ۳. بررسی اثر تابع کار الکترود پایینی سلول خورشیدی ناهمگون.

بررسی چگالی حامل‌های لایه‌های امیتر و بیس

در ادامه به بررسی اثر چگالی حامل‌های لایه‌های امیتر (کربید سیلیکون آمورف نوع p) و بیس (سیلیکون آمورف نوع n) می‌پردازیم. همان‌طور که در شکل ۴ مشاهده می‌شود برای لایهٔ امیتر با افزایش چگالی حفره‌ها از 10^{13} تا 3×10^{17} (cm⁻³) تغییر مشهودی در ولتاژ مدار باز و جریان اتصال کوتاه سلول مشاهده نمی‌شود. اما با افزایش بیشتر چگالی حفره‌ها، ولتاژ مدار باز افزایش یافته و از ۱.۴۸ به حدود ۱.۵۲ ولت می‌رسد. با این حال برای چگالی حفره‌های بالاتر به دلیل افت جریان مدار باز، بازده افزایش پیدا نمی‌کند. این افت چگالی جریان را می‌توان به گیر افتادن حامل‌های آزاد درون تله‌ها و نقص‌ها و همچنین ناشی از پراکندگی

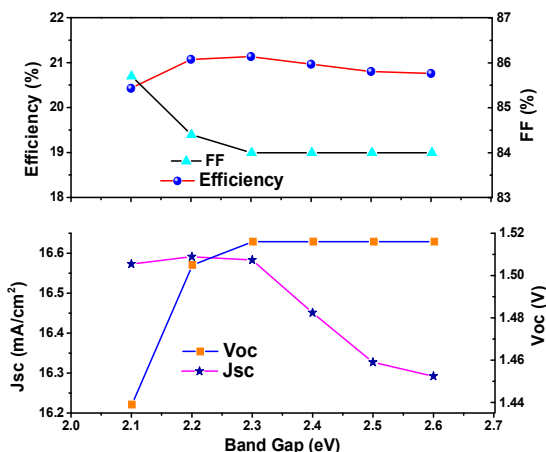
کاهش همزمان چگالی جریان، کاهش بازدهی را به دنبال خواهد داشت.

بررسی اثر ضخامت لایه ذاتی GaP

به منظور کم کردن آثار فصل مشترک و بازنگری حاملها در فصل مشترک از یک لایه ذاتی استفاده می‌شود. عموماً در کارهای پیش از این یک لایه ذاتی سیلیکون به عنوان لایه بافر ذاتی استفاده می‌شود. در این کار از یک لایه گالیوم فسفات ذاتی با مشخصات درج شده در جدول ۱ استفاده شده است و با تغییر ضخامت این لایه ذاتی به شبیه‌سازی عملکرد سلول خورشیدی پرداختیم. علت انتخاب این ماده گاف بزرگ آن در مقایسه با سیلیکون می‌باشد. همچنین لبه‌های نوار ظرفیت و رسانش این ماده در تطابق نسبی با سیلیکون بوده و میزان عدم تطابق در ثابت شبکه این مواد اندک می‌باشد. این مزایا باعث می‌شود که گالیوم فسفات یک جایگزین مناسب برای سیلیکون آمورف ذاتی باشد. نتایج حاصل در شکل ۷ نمایش داده شده است. مشاهده می‌شود که در ابتدا یا وارد کردن لایه ذاتی به ضخامت ۵ nm ابه ساختار سلول تمام پارامترهای کارکرده سلول خورشیدی نظری و لتأثر مدار باز، جریان اتصال کوتاه، ضریب پرشدگی و در نتیجه بازدهی سلول افزایش قابل ملاحظه‌ای یافته است. برای چگالی جریان مدار باز این افزایش تا ضخامت ۲۰۰ nm با شبیه‌سازی بوده و پس از آن افزایش جریان با آهنگ کندتر و به صورت تدریجی است. در مورد لتأثر مدار باز وارد کردن لایه ذاتی GaP در ابتدا باعث افزایش این کمیت شده ولی برای لایه‌های ذاتی با ضخامت بیشتر از ۱۰۰ با افت اندک و لتأثر مدار باز روبرو هستیم. در نهایت با ترسیم نمودارهای ضریب پرشدگی FF و بازدهی سلول خورشیدی مشاهده می‌شود که به صورت کلی بازدهی افزایش یافته و برای ضخامت‌های بالای لایه ذاتی به مقدار ثابتی می‌رسد. اما با توجه به افت نسبی ضریب پرشدگی در ضخامت‌های بالای لایه بافر، بهینه

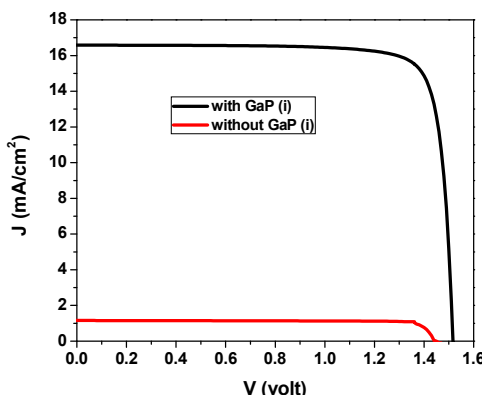
اثر تغییرات گاف نواری امیتر

در این ساختار مورد بررسی اتصال ناهمگون لایه کربید سیلیکون SiC نوع n با سیلیکون نوع p در نظر گرفته شده است. یکی از مزایای استفاده از کربید سیلیکون به جای سیلیکون آمورف، باند گاف نسبتاً پهن‌تر آن می‌باشد. این گاف بزرگ‌تر باعث می‌شود که تمام ناحیه مرئی و بخشی از ناحیه ماوراءپنفی طیف فروپوشی به سطح سلول خورشیدی درون سلول وارد شود و به ناحیه پیوندگاه برخورد کند. در شکل ۶ به بررسی تأثیر میزان گاف نواری لایه امیتر بر روی عملکرد سلول خورشیدی پرداخته‌ایم. همان‌طور که مشاهده می‌شود با افزایش میزان گاف انرژی چگالی جریان مدار باز سلول در ابتدا ثابت بوده و برای گاف انرژی بزرگ‌تر از ۲/۳ eV کاهش می‌یابد. علت این امر را می‌توان به کم شدن تعداد فوتولکترون‌هایی که توانایی مقابله با این گاف را داشته و خود را به اتصالات لبه‌ای سلول می‌رسانند، نسبت داد.



شکل ۶. بررسی اثر گاف نواری لایه امیتر در سلول خورشیدی.

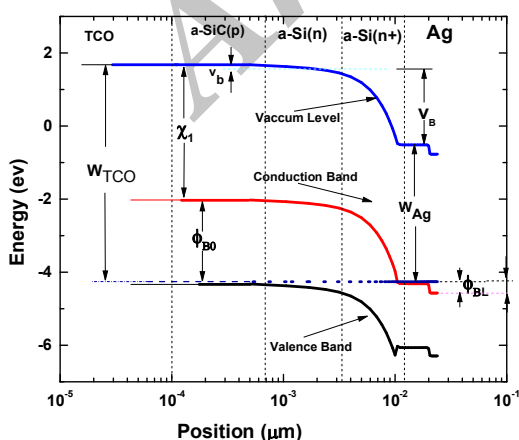
با این حال با افزایش گاف انرژی لایه امیتر میزان و لتأثر مدار باز سلول بیشتر شده و باعث افزایش بازدهی می‌شود. هرچند که افزایش بیشتر گاف انرژی باعث افزایش و لتأثر نمی‌شود و لتأثر مدار باز برای گاف‌های بزرگ‌تر از ۲/۳ eV تقریباً ثابت باقی می‌ماند که بدليل



شکل ۸. منحنی ولتاژ-جریان سلول خورشیدی تک اتصاله در حالت‌های بدون لایه ذاتی و با لایه ذاتی GaP به ضخامت بهینه.

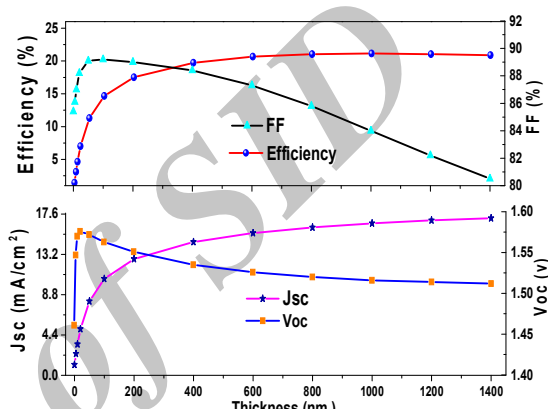
بررسی نمودار ساختار نوار انرژی

در شکل ۹ نوارهای انرژی سلول خورشیدی شبیه‌سازی شده بدون درنظر گرفتن لایه ذاتی و در شکل‌های ۱۰ و ۱۱ به ترتیب برای حالت‌های با حضور لایه ذاتی به ضخامت ۵ nm و یک میکرومتر ترسیم شده است. لبه نوارهای ظرفیت و رسانش نسبت به تراز خلاً نشان داده شده‌اند. مشاهده می‌شود که در حضور لایه ذاتی GaP لبه نوار رسانش و ظرفیت یک خمیدگی به‌سمت بالا پیدا می‌کنند. این امر باعث تسهیل در حرکت حامل‌ها و جدایش بهتر حامل‌ها در فصل مشترک و در نتیجه باعث افزایش بازدهی می‌شود.



شکل ۹. ساختار نوار انرژی سلول خورشیدی بدون لایه ذاتی.

ضخامت برای لایه ذاتی را برابر ۱۰۰۰ نانومتر در نظر گرفته شد. تاکنون بهترین نتیجه گزارش شده برای یک سلول خورشیدی با ساختار مشابه و با لایه ذاتی سیلیکون آمورف به مقدار ۱۷/۶۶ eV بوده است که در مقایسه نتایج با استفاده از گالیوم فسفات بهبود قابل توجهی یافته است [۲۰].

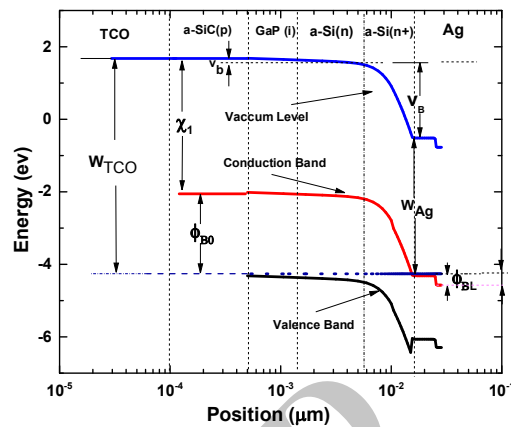


شکل ۷. بررسی اثر ضخامت لایه ذاتی GaP در سلول خورشیدی.

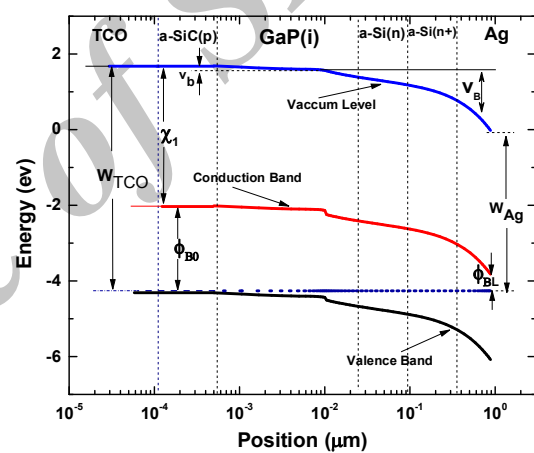
همچنین منحنی چگالی جریان-ولتاژ برای حالت‌های بدون لایه ذاتی و با در نظر گرفتن بهینه پارامترها در شکل ۸ ترسیم شده است. با توجه به شکل ۸ تأثیر عمدۀ حضور لایه بافر ذاتی در افزایش چشمگیر جریان اتصال کوتاه سلول می‌باشد. حضور این لایه باعث افزایش نسی و ولتاژ مدار باز نیز شده است، اما عمدۀ ترین تأثیر آن افزایش جریان اتصال کوتاه مدار می‌باشد. نمودار نوار انرژی سلول ترسیم شد تا نحوه حرکت حامل‌های تولید شده درون ساختار سلول و استخراج آنها از الکترود بالایی و پایینی سلول خورشیدی بررسی شود.

بررسی منحنی بازدهی کوانتمی برای حالات مختلف

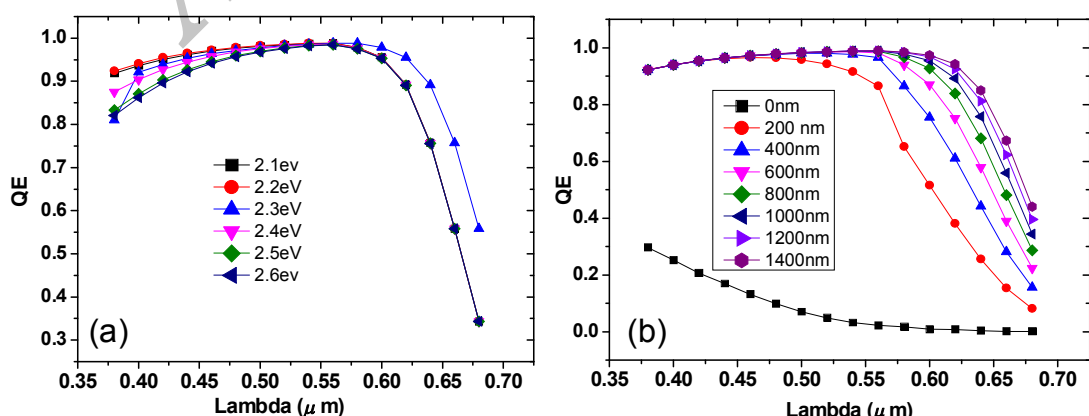
در انتها برای بررسی پاسخ طیفی سلول خورشیدی شبیه‌سازی شده و بررسی اثر پارامترهای مختلف، نمودارهای بازده کوانتمی ترسیم شد. در شکل ۱۲ منحنی‌های بازده کوانتمی با تغییر گاف نواری امیتر و ضخامت لایه ذاتی گالیوم فسفات بر حسب طول موج‌های فرودی رسم شده است. منحنی‌های رسم شده نشان‌دهنده پاسخ طیفی مناسب سلول در بازه ۳۷۰–۷۰۰ نانومتر می‌باشد که منطبق بر ناحیه مرئی است. از شکل ۱۲ (a) مشاهده می‌شود که بیشترین بازدهی برای گاف نواری لایه امیتر با اندازه ۲۳ eV به دست می‌آید که منطبق بر بیشترین بازدهی است. تغییرات گاف نواری لایه کربید سیلیکون در پاسخ طول موج‌های بلند سلول تأثیر عمده نشان می‌دهد. شکل ۱۲ (b) نشان می‌دهد که با افزودن لایه ذاتی GaP، بازده کوانتمی افزایش چشمگیری داشته است و افزایش جریان اتصال کوتام سلول در پاسخ کل طیف تأثیر گذاشته است.



شکل ۱۰. ساختار نوار انرژی برای سلول با لایه ذاتی GaP با ضخامت ۵ nm.



شکل ۱۱. ساختار نوار انرژی برای سلول با لایه ذاتی GaP با ضخامت ۱۰۰ nm.



شکل ۱۲. بررسی بازده کوانتمی در سلول خورشیدی تک اتصاله شبیه سازی شده با تغییرات (a) گاف نواری امیتر، (b) ضخامت لایه ذاتی .GaP

Photovoltaic Solar Energy Conference, Milan, Italy, 3–7 September (2007).

- [4] L. Zhao, H.L. Li, C.L. Zhou, H.W. Dao, W.J. Wang; Optimized resistivity of p-type Si substrate for HIT solar cell with Al back surface field by computer simulation, *Solar Energy* **83** (2009) 812–816.
- [5] Y. Liu, Y. Sun, W. Liua, J. Yao, Novel high-efficiency crystalline-silicon-based compound heterojunction solar cells: HCT (heterojunction with compound thin-layer), *Physical Chemistry Chemical Physics* **16** (2014) 15400–15410.
- [6] S. Qing-Yi, C. A-Qing, Z. Kai-Gui, Z. Juan, Numerical Simulation of a P^+ a-SiC:H/N⁺ Poly-Si Solar Cell with High Efficiency and Fill Factor, *Chinese Physics Letters* **29** (2012) 087302.
- [7] C. Walder, M. Kellermann, E. Wendler, J. Rensberg, K. von Maydell, C. Agert, Comparison of silicon oxide and silicon carbide absorber materials in silicon thin-film solar cells, *European Physical Journal Photovoltaics* **6** (2015) 65302.
- [8] M. Burgelman, J. Verschraegen, S. Degrave, P. Nollet, Modeling thin film PV devices, *Progress in Photovoltaics, Research and Applications* **12** (2004) 143–153.
- [9] S.J. Fonash, A manual for One-Dimensional Device Simulation Program for the Analysis of Microelectronic and Photonic Structures (AMPS-1D), (The Center for Nanotechnology Education and Utilization, The Pennsylvania State University).
- [10] M. Barrera, F. Rubinelli, I. Rey-Stolle, J. Pla, Numerical simulation of Ge solar cells using D-AMPS-1D code, *Physica B* **407** (2012) 3282–3284.
- [11] A. Eray, G. Nobile, AMPS-1D Modeling of a-Si:H n⁺-i-n⁺ Structure: The Validity of Space Charge Limited Current Analysis, *TURKISH JOURNAL OF PHYSICS* **28** (2004) 31 - 39.
- [12] L. Zhao, C.L. Zhou, H.L. Li, H.W. Diao, W.J. Wang, Design optimization of bifacial HIT solar cells on p-type silicon substrates by simulation, *Solar Energy Materials and Solar Cells* **92** (2008) 673–681.
- [13] J.M. Olson, D.J. Friedman, S. Kurtz; *Handbook of photovoltaic Science and Engineering*, National Renewable Energy Laboratory, Golden, (2003).
- [14] J.S. Fonash, *Solar Cell Device Physics*, Second Edition, USA, Elsevier Inc., (2010).

نتیجه‌گیری

با شبیه‌سازی یک سلول خورشیدی ناهمگون با TCO/ a-SiC (P)/ GaP (i)/ a-Si (n)/a-Si (n+)/metal نقش پارامترهای مختلف در عملکرد سلول بررسی شد. طبق نتایج به دست آمده با استفاده از یک لایه شفاف رسانا با تابع کار بالا به عنوان الکترود بالای و یک فلز با ضریب بازتاب بالا، مانند نقره، به عنوان الکترود پایینی به سلولی با بازدهی بالاتر و عملکرد بهتر رسیدیم. بهینه مقدار چگالی حامل‌ها برای لایه‌های کربید سیلیکون نوع p و سیلیکون آمورف نوع n محاسبه شد. از نتایج شبیه‌سازی گاف انرژی کربید سیلیکون بهترین بازدهی و کارایی سلول خورشیدی برای لایه‌ای با گاف ۲۳ eV به دست آمد. در نهایت بیشینه بازدهی به دست آمده ۲۱,۱۳ درصد و برای لایه ذاتی با ضخامت ۱ میکرومتر می‌باشد که با توجه به اینکه تاکنون از لایه ذاتی گالیوم فسفات در چنین ساختاری استفاده نشده است، نسبت به ساختار مشابه با سیلیکون آمورف نتایج بهتری به دست می‌آید.

تشکر و قدردانی

نویسنده‌گان از پروفسور فوناش (S.J. Fonash) از دانشگاه ایالتی پنسیلوانیا به جهت در اختیار قرار دادن نرم‌افزار تشکر می‌کنند.

مرجع‌ها

- [1] N. Hernandez-Como, A. Morales-Acevedo, Simulation of hetero-junction silicon solar cells with AMPS-1D, *Solar Energy Materials and Solar Cells*, **94** (2010) 62–67.
- [2] A. Bensmain, H. Tayoub, B. Zebntout, Z. Benamara, Investigation of Performance Silicon Heterojunction Solar Cells Using a-Si: H or a-SiC: H at Emitter Layer Through AMPS-1D Simulations, *Sensors & Transducers*, **27** (2014) 82–86.
- [3] S. Taira, Y. Yoshimine, T. Baba, M. Taguchi, H. Kanno, T. Kinoshita, H. Sakata, E. Maruyama, M. Tanaka, Our approaches for achieving HIT solar cells with more than 23% efficiency, Proceedings of the 22nd European

- [15] C. Song, H. Chen, Y. Fan, J. Luo, X. Guo, X. Liu, High-Work-Function Transparent Conductive Oxides with Multilayer Films, *Applied Physics Express* **5** (2012) 041102.
- [16] S.L. Sheng, *Semiconductor Physical Electronics*, First Edition, Plenum Press, (1993).
- [17] P. Prunici, F.U. Hamelmann, W. Beyer, H. Kurz, H. Stiebig, Modeling of infrared optical constants for polycrystalline low pressure chemical vapour deposition ZnO:B films, *JOURNAL OF APPLIED PHYSICS* **113** (2013) 123104.
- [18] CRC Handbook of Chemistry and Physics version (2008).
- [19] <http://refractiveindex.info/>
- [20] M.I. Kabir, N. Amin, A. Zahrim, K. Sopian, Proceedings of the 8th WSEAS Int. Conf. on NON-LINEAR ANALYSIS, NON-LINEAR SYSTEMS AND CHAOS, (2010) 334- 337.

Improving the heterojunction silicon solar cell efficiency by using GaP intrinsic layer

Nafiseh Memarian*, Mir Kazem Omrani, Mehran Minbashi

Faculty of Physics, Semnan University, Semnan, Iran

Received: 04.06.2016 Final revised: 11.04.2017 Accepted: 24.04.2017

Abstract

In this article, the operations of heterojunction silicon solar cells were investigated theoretically. The studied structure is TCO/ a-SiC (P)/ GaP (i)/ a-Si (n)/ a-Si (n^+)/ metal. In this study instead of using conventional structure, which uses an amorphous intrinsic layer, a GaP (Gallium Phosphate) layer is used as intrinsic buffer layer. Different models of this solar cell structure were simulated. The effect of various parameters such as work functions of front and back contacts, emitter and n-type amorous silicon layer carrier densities, emitter band gap, GaP buffer layer thickness, current- voltage curves and quantum efficiency has been studied. The optimum values for above mentioned quantities are presented based on the study results. Moreover, the band structure of different cases is plotted. The results show that using a GaP intrinsic layer with 2.26 eV band gap and 1 micrometer thick, leads to the highest efficiency around 21.13% with $V_{oc}=1.52$ V, $J_{sc}=16.58$ mA.cm $^{-2}$ and FF= 84 %.

Keywords: Silicon solar cell; band gap energy optimization; intrinsic layer; quantum efficiency

* Corresponding Author: n.memarian@semnan.ac.ir